

Proposta de Paralelização do *Skyline Matrix Solver* utilizando MPI

Arthur F. Lorenzon¹, Márcia C. Cera¹, Fábio D. Rossi²

¹Universidade Federal do Pampa (UNIPAMPA) – Campus Alegrete
Av. Tiarajú, 810 – CEP: 97546-550 – Alegrete – RS – Brasil

²Pontifícia Universidade Católica do Rio Grande do Sul
Av. Ipiranga 6681 – Prédio 32 (PPGCC) – Porto Alegre – RS – Brasil

af.lorenzon@gmail.com, marciacera@unipampa.edu.br, fabio.diniz@acad.pucrs.br

Resumo. A eficiência de aplicações paralelas em ambientes com memória distribuída depende da forma como o trabalho é dividido entre os nós computacionais. Nesse sentido, propomos um modelo paralelo de distribuição do trabalho entre os processos para a aplicação *Skyline Matrix Solver*. A implementação paralela baseia-se no padrão MPI-1. Nossos testes alcançaram uma redução de cerca de 90% no tempo de execução com 32 processos.

1. Introdução

Neste trabalho, propomos a implementação paralela do problema *Skyline Matrix Solver* em MPI-1. Ele faz parte da suíte *Cowichan Problems* [Wilson and Bal 2007] e está sendo estudado dentro do contexto de um projeto de pesquisa que visa a implementação de aplicações com criação dinâmica de processos [Lorenzon et al. 2012]. Nosso objetivo é desenvolver uma versão paralela do *Skyline Matrix Solver* propondo um modelo de distribuição da carga de trabalho entre os processos.

Para tanto, utilizamos o MPI (*Message Passing Interface*) [Gropp et al. 1998] que é a biblioteca padrão para a transmissão de mensagens em arquiteturas paralelas de memória distribuída, especificando primitivas de comunicação ponto a ponto e coletivas. O MPI permite a extração do paralelismo explícito, onde a divisão da carga de trabalho entre os processos fica a cargo do programador. Portanto, a forma com que ela é distribuída entre os processos influencia diretamente na eficiência de uma aplicação.

Este trabalho está organizado como segue: a Seção 2 apresenta os trabalhos relacionados além de contextualizar sobre o problema alvo e o MPI. O modelo de distribuição da carga de trabalho, assim como o algoritmo paralelo são apresentados na Seção 3. Nossos resultados experimentais são apresentados na Seção 4 e a Seção 5 possui uma breve conclusão e nossos trabalhos futuros. Por fim, são apresentadas as referências utilizadas no desenvolvimento deste trabalho.

2. *Skyline Matrix Solver*

O *Skyline Matrix Solver* consiste em resolver a etapa da decomposição de um sistema de equações lineares do tipo $Ax = b$ em matrizes A do tipo *skyline*. Ela consiste de uma matriz $N \times N$ onde existem constantes r_i e c_j , de tal modo que $1 \leq r_i \leq i$

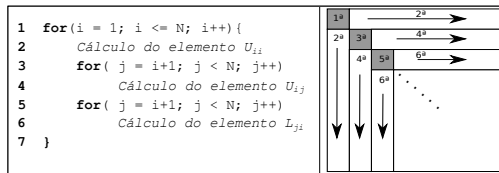


Figura 1. Pseudocódigo sequencial e ilustração das etapas da Decomposição LU.

e $1 \leq c_j \leq j$. A constante r_i contém a primeira posição da coluna do primeiro valor não nulo da linha i a esquerda da diagonal principal e c_j possui a posição da linha do primeiro valor não nulo da coluna j a direita da diagonal principal [Wilson and Bal 2007].

Segundo Press et al. [Press et al. 2007], um modo muito utilizado para a solução deste tipo de sistema de equações lineares é a Decomposição-*Lower Upper* (Decomposição LU). Nela, a matriz A é o produto de duas matrizes L e U . A matriz L contém os elementos situados abaixo da diagonal principal e a matriz U os elementos da diagonal principal mais os elementos situados acima dela.

Na literatura, Dichter et al. [Dichter et al. 2001] realizam um estudo sobre a paralelização da decomposição da matriz LU em sistemas de memória distribuída. O trabalho paraleliza o método de Gauss utilizando a biblioteca PVM (*Parallel Virtual Machine*). Já Paudel and Amaral [Paudel and Amaral 2011] realizam a paralelização do problema *Skyline Matrix Solver* utilizando a linguagem de programação X10. Portanto, nosso trabalho se torna complementar a estes, pois aborda a paralelização do método de *Doolittle* [Press et al. 2007] utilizando o padrão MPI.

3. Implementação Paralela do Algoritmo

Um algoritmo muito utilizado para realizar a Decomposição LU em matrizes *skyline* é o Método de *Doolittle*. Isto porque ele não realiza o cálculo de posições da matriz que possuem valor zero, já que para esta posição o resultado será sempre zero. Seu pseudocódigo na versão sequencial é apresentado à esquerda da Figura 1. Nele, a linha 2 realiza o cálculo do elemento da diagonal principal, definida como a 1ª etapa do método. O valor obtido para esta posição será utilizado para computar a 2ª etapa, que consiste do cálculo dos elementos da linha e coluna (diferentes de zero) da matriz U e L respectivamente (linha 4 e 6). O algoritmo repete este procedimento até a computação total dos elementos. Ainda na Figura 1, a representação ao lado do pseudocódigo ilustra de forma gráfica a ordem de execução das etapas.

A versão paralela do algoritmo foi desenvolvida em MPI-1 num ambiente SPMD (*Single Program, Multiple Data*) utilizando o modelo de programa Fases Paralelas. A distribuição de tarefas entre os processos segue o modelo de divisão igualitária de linhas e colunas e a Figura 2 ilustra como a aplicação está organizada. Nela, o pseudocódigo (situado à esquerda) descreve o algoritmo em alto nível de abstração e a matriz (situada à direita) apresenta a estratégia utilizada na distribuição das tarefas entre 4 processos para uma matriz 8×8 .

Para melhor compreender o pseudocódigo apresentado na Figura 2, dividimos

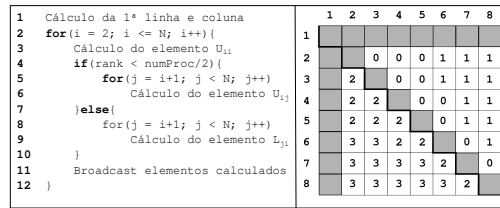


Figura 2. Pseudocódigo paralelo e ilustração da distribuição das tarefas.

ele em quatro fases: (i) Inicialmente, todos os processos (neste caso, 4) calculam a primeira linha e coluna da matriz (linha 1 do pseudocódigo); (ii) Todos os processos calculam o elemento da diagonal principal (linha 3); (iii) Se o *rank* (identificador) do processo for menor do que a metade do número total de processos, caberá ao processo computar os elementos correspondentes a matriz U (linha 4 a 6). Caso contrário, o processo calculará seus elementos correspondentes à matriz L (linha 8 e 9). Por exemplo, na segunda linha da matriz, o processo 0 calculará os elementos U_{23} , U_{24} e U_{25} e o processo 1 os outros três elementos da linha. No segundo caso, o processo 2 calculará os elementos L_{32} , L_{42} e L_{52} e o processo 3 os outros três elementos da coluna 2; (iv) Após o cálculo de seus elementos, cada processo envia seus dados computados aos demais processos através da primitiva de comunicação coletiva `MPI_Bcast` (operação síncrona, onde um processo envia dados para um grupo de processos). As fases (ii), (iii) e (iv) são repetidas até que todos os elementos da matriz tenham sido computados.

4. Resultados Experimentais

A aplicação foi executada em um *cluster* do tipo *Beowulf* contendo 8 nós computacionais interligados por uma rede *Gigabit Ethernet*. Cada nó estava equipado com um processador Intel *Core i5*, com frequência de 3.20 Ghz. Em cada nó, havia 4 *cores*, sendo 2 físicos e 2 lógicos (através da tecnologia *Hyper-Threading*). O Sistema Operacional em uso foi o Debian (*kernel* 2.6.32-5-amd64) e a versão da distribuição do MPI utilizada foi a OpenMPI 1.6. Para ambas as versões (sequencial e paralela), o tempo computado desconsidera as operações de entrada e saída.

Em nossos testes, o número de processos por nó foi sempre igual a 4, desta forma cada *core* recebeu um processo. Utilizou-se esta configuração visando evitar o desperdício dos recursos computacionais disponíveis. Através da execução prévia dos algoritmos, determinou-se o tamanho da matriz de entrada, fixado em 6000×6000 , o que permitiu analisar a escalabilidade da aplicação em nossa arquitetura. Realizou-se 30 execuções para cada quantidade de processos definida, obtendo-se a média, em que o desvio padrão foi sempre inferior a 0,1 segundos.

A Figura 3 apresenta os tempos de execução obtidos para o intervalo entre 4 a 32 processos e os valores de *speedup* correspondentes. Nela, podemos acompanhar que para todas as quantidades de processos, houve ganho em relação a versão sequencial. Observa-se também, que o maior *speedup* alcançado foi de 10,32 com redução de cerca de 90% no tempo de execução com a utilização de 32 processos.

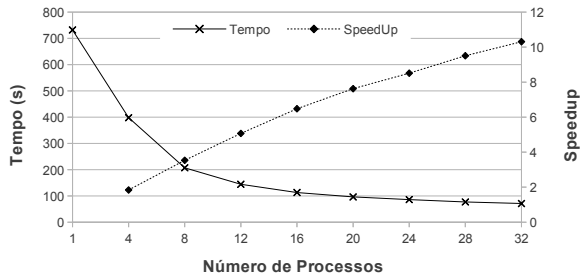


Figura 3. Tempo de execução em segundos (eixo y à esquerda) e speedup (eixo y à direita) para 4 a 32 processos.

Este ganho é alcançado, pois a dependência de dados e a intensa troca de dados existentes são compensadas pelo tempo efetivo de computação (cerca de 70% do total da aplicação).

5. Conclusão e Trabalhos Futuros

Este trabalho objetivou paralelizar o problema *Skyline Matrix Solver*. Para isto, propusemos inicialmente um modelo de distribuição da carga de trabalho entre os processos baseado na distribuição de porções igualitárias de linhas e colunas. Mostramos, que o modelo proposto possibilitou ganhos em relação a versão sequencial.

Identificamos oportunidades futuras de realizar melhorias no escalonamento das tarefas entre os processos, objetivando equilibrar o tempo de computação entre os mesmos. Isto permitirá melhorar a eficiência da aplicação, pois atualmente, os processos que finalizam seu trabalho primeiro ficam bloqueados no `MPI_Bcast` à espera dos demais. Dando seguimento a nossa pesquisa, implementaremos o *Skyline Matrix Solver* com criação dinâmica de processos.

Referências

- Dichter, J., Mahmood, A., and Sholl, H. A. (2001). Parallel data distributions for optimum LU decomposition. *I. J. Comput. Appl*, 8(1).
- Gropp, W., Huss-Lederman, S., Lumsdaine, A., Lusk, E., Nitzberg, B., Saphir, W., and Snir, M. (1998). *MPI – The Complete Reference*, volume 2, The MPI Extensions, 2nd ed. of *Scientific and Engineering Computation Series*. MIT Press.
- Lorenzon, A. F., Cera, M. C., and Rossi, F. D. (2012). Analysing the impact of mpi-2 dynamic process creation to the game of life problem. In *Computer Systems (WSCAD-SSC), 2012 13th Symposium on*, pages 133–140.
- Paudel, J. and Amaral, J. N. (2011). Using the cowichan problems to investigate the programmability of x10 programming system. Technical report, NY, USA.
- Press, W. H., Teukolsky, S. A., Vetterling, W. T., and Flannery, B. P. (2007). *Numerical recipes 3rd edition: The art of scientific computing*.
- Wilson, G. V. and Bal, H. E. (2007). The cowichan experience.